

Биология

УДК 581.143.6

А. Р. ПЕНЕСЯН, А. П. АНТОНЯН, Г. Р. ВАРДАПЕТИАН

**ИССЛЕДОВАНИЕ ВЗАИМОДЕЙСТВИЯ ОЧИЩЕННЫХ ПРЕПАРАТОВ
ГИПЕРИЦИНА С ДНК**

Выделен и фракционирован тотальный метанольный экстракт из цветков *Hypericum perforatum L.* гель-хроматографией на колонках с сефадексом LH-20. Методами абсорбционной и флюоресцентной спектроскопии, а также с помощью тонкослойной хроматографии показана высокая степень чистоты полученного препарата гиперицина.

Исследовано взаимодействие гиперицина с ДНК. Показано, что гиперицин избирательно и по-разному взаимодействует с пуриновыми и пиридиновыми последовательностями ДНК.

Введение. Гиперицин является полизицлическим ароматическим дионом, который содержится в растениях рода *Hypericum*. Показано, что он обладает высокой антидепрессивной и антиретровирусной активностью (против нескольких типов вирусов, включая вирус иммунодефицита человека – ВИЧ) [1–4].

Хотя существует много данных об антивирусной активности гиперицина [1, 2, 5, 6], механизм и место его действия на клеточном уровне все еще остаются неясными. Гиперицин, как известно, является липофильной молекулой, способной встраиваться в бислои клеточных мембран [7]. Это подтверждается экспериментами по флюоресцентной микроскопии, показывающими, что гиперицин способен локализоваться в плазматических мембранах [2, 8].

Для оценки внутриклеточного распределения гиперицина среди различных компонентов клетки были проведены микроспектрофлюорометрические исследования на модельных системах, которые показали, что прежде всего гиперицин локализуется в клеточных мембранных и цитоплазме, а после долговременной инкубации (210мин) фактически достигает ядра клетки и концентрируется в нем [8]. Необходимо отметить, что эти исследования проводились в водных средах, где растворимость гиперицина достаточно низкая. Из полученных результатов следует, что ядро и внутриядерные структуры могут выступать в

качестве мишеней для гиперицина, а эффект высокой биологической активности, по крайней мере частично, можно объяснить непосредственным его взаимодействием с ядерной ДНК [8].

Целью настоящей работы явилось выделение гиперицина, его хроматографическая очистка и исследование особенностей взаимодействия гиперицина с ДНК.

Материалы и методы. Гиперицин и его производные выделялись из цветков *H. perforatum L.* экспозиции 2001 года [9]. Цветки, высушенные теплым воздухом при 55 ± 1 ($^{\circ}\text{C}$), последовательно экстрагировали хлороформом или дихлорметаном в течение 3 часов на качалке при комнатной температуре, для освобождения от пигментов и липидных соединений. После этого растительный материал сушили вакуумным роторным испарителем, помещали в аппарат Сокслета и проводили экстракцию 80% метанолом до его полного обесцвечивания. Полученный ярко-красного цвета экстракт центрифугировали, осадок удаляли, супернатант выпаривали вакуумным роторным испарителем, а осадок перерастворяли в 80% метаноле.

Концентрацию гиперицина определяли спектрофотометрически, за экстинкцию принимая значение $\varepsilon = 43500 M^{-1} \text{см}^{-1}$ при 590нм.

Разделение метанольного экстракта проводили гель-хроматографией на колонке (35мм×24мм) с лиофильным сепадексом LH-20 *Pharmacia* (Швеция). В качестве элюента использовали безводный метанол. Детектирование при разных длинах волн проводили посредством проточной кюветы на спектрофотометре *Specord UV-VIS* (Германия). Фракции, соответствующие основным абсорбционным пикам, регистрировали на самописце K-200 (Германия) и собирали на коллекторе E-200 (Венгрия).

Чистоту гиперицинового экстракта определяли флюoresцентной и абсорбционной спектроскопией на спектрофотометре *Specord M-400* (Германия).

Для качественного анализа экстракта *H. perforatum L.* использовали тонкослойную хроматографию (ТСХ) на целлюлозных пластинках *Merck* (Германия). В качестве подвижной фазы использовалась смесь хлороформ–ледяная уксусная кислота–вода (50:45:1). Хроматографическая камера насыщаласьарами подвижной фазы около 30мин, после чего в нее опускались пластинки ТСХ с нанесенными пробами (5–10 μl). Использовалась восходящая хроматография. Сканирование хроматограмм проводилось под УФ-светом. Относительное содержание гиперицина определяли спектральным методом, принимая суммарное содержание вторичных метаболитов в интактном растении за 100%.

Флюoresценцию измеряли после растворения гиперициновой фракции в абсолютном метаноле. Флюoresцентный анализ проводили на автоматическом спектрофлюорометре. Фракции, содержащие гиперицин и псевдогиперицин, возбуждали при длине волны 254нм. В качестве гиперицинового пика принимали спектральный максимум – 590нм.

Для приготовления ДНК-гиперициновых комплексов использовали водорастворимый препарат гиперицина. С целью получения водо-

растворимого препарата растворенный в метаноле гиперицин разбавляли в 10-кратном избытке 20мM фосфатного буфера, pH 7.2. Полученный раствор нагревали до 100°C в течение 30мин и центрифугировали на центрифуге *Micro-centrifuge type 300* (Польша) при 15000 об./мин в течение 15мин. Надосадок, содержащий водорастворимый гиперицин, использовался для приготовления комплексов с ДНК. Необходимо отметить, что при этом спектральные характеристики водорастворимого гиперицина соответствовали аналогичным параметрам метанольного раствора, используемого в качестве стандарта.

ДНК-гиперициновые комплексы приготавливали смешиванием в 20мM фосфатном буфере при pH 7.2, из расчетной концентрации одна молекула гиперицина на 150, 200, 250 пар азотистых оснований ДНК. Растворы смешивали в течение 24 часов при комнатной температуре.

Исследование взаимодействия ДНК с очищенной фракцией гиперицина осуществляли методом «плавления». Плавление осуществляли в герметически закрытых кварцевых кюветах, помещаемых в терmostатируемую ячейку спектрофотометра *Unicam SP 8-100* (Англия) с автоматической регулировкой температуры и регистрацией оптической плотности. Скорость нагрева 0.25 град./мин, точность измерения температуры $\pm 0.05^{\circ}\text{C}$, точность измерения оптической плотности $\pm 5 \cdot 10^{-4} \text{OE}$. Кривые плавления каждого образца регистрировались 3 раза.

Кривую плавления рассчитывали по формуле $1-\theta=A_{\text{T}}-A_0/A_{\text{max}}-A_0$, где A_{max} , A_0 и A_{T} – равновесные значения оптической плотности полностью клубкообразной, полностью спиральной ДНК и при данной температуре соответственно.

Результаты и обсуждение. В ряде работ (см., напр., [10]) было показано, что фармакологическая активность экстрактов *H. perforatum L.* обусловлена как гиперицином, так и рядом других компонентов. С

целью дальнейшей очистки препаратов гиперицина и исследования их отдельных компонентов проводилось фракционирование тотального экстракта *H. perforatum L.* гель-хроматографией на колонках с липофильным сепадексом LH-20. Результаты этих экспериментов приведены на рис. 1.

В процессе колоночной хроматографии были идентифицированы 4 основные фракции, которые отличались друг от друга цветом и скоростью элюции. Спектры поглощения этих фракций приведены на рис. 2.

Как видно из рис. 2, полученные фракции существенно отличаются

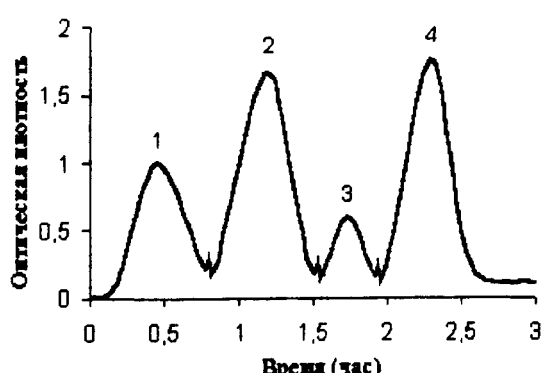


Рис. 1. Гель-хроматографияtotального экстракта *H. perforatum L.* на колонке с сепадексом LH-20.

лись друг от друга цветом и скоростью элюции. Спектры поглощения этих фракций приведены на рис. 2.

Как видно из рис. 2, полученные фракции существенно отличаются

по своим спектральным характеристикам. Фракции 3 и 4 показывают спектр поглощения, характерный для гиперицинов с максимумом поглощения в области 590 нм. Отсутствие поглощения в области 450–500 нм указывает на высокую степень очистки препарата гиперицина. Это подтверждается результатами ТСХ. Отдельный интерес вызывает фракция 1, которая имеет максимум поглощения в области 670 нм. Предполагается, что данная фракция ответственна за высокую фотосенсибилизационную активность гиперицинсодержащего экстракта.

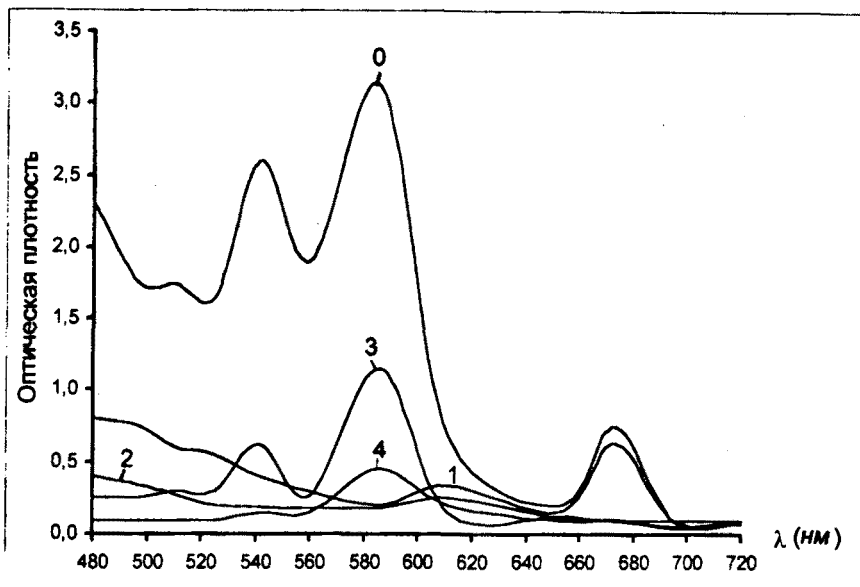


Рис. 2. Спектры поглощения отдельных фракций экстракта *H. perforatum L.* (0 – тотальный экстракт, 1 – 1-я фракция, 2 – 2-я фракция, 3, 4 – гиперицинсодержащие фракции)

Для лучшего понимания механизмов действия этого лекарственного препарата необходимо исследовать его взаимодействие с основными субклеточными структурами (мембранами, белками и нуклеиновыми кислотами).

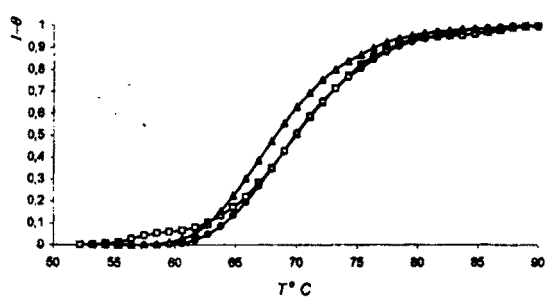


Рис. 3. Кривые плавления ДНК тимуса теленка (Δ) и ее комплексов с гиперицином в мольных соотношениях гиперицина с ДНК – 1:250 (\circ), 1:150 (\square).

Ранее было показано [11], что гиперицин взаимодействует с синтетическими полинуклеотидами – поли-(dG-dC), поли-(dA-dT) и т. д., а также, что он избирательно и по-разному взаимодействует с определенными последовательностями ДНК. Для исследования взаимодействия гиперицина с ДНК были получены кривые плавления ДНК-гиперициновых комп-

лексов, которые приведены на рис. 3.

Как видно из рис. 3, в зависимости от возрастания концентрации гиперицина в комплексах кривые плавления последних смешаются в область высоких температур. Это может быть связано с более предпочтительным связыванием гиперицина с двухцепочечной ДНК. Появление сателлитного участка в низкотемпературной области кривых плавления (около 55–60°C) обусловлено частичным дестекингом оснований при взаимодействии гиперицина с А-Т-богатыми участками ДНК [11]. Появление сателлитного участка в высокотемпературной области (свыше 80°C) при увеличении соотношения гиперицин–ДНК до 1:150 подтверждает предположение о том, что гиперицин проявляет высокое сродство к G-C-богатым кластерам ДНК, образуя прочные водородные связи с седьмым атомом азота гуанина [11].

Таким образом, изменения в кривых плавления указывают на возможность непосредственного взаимодействия гиперицина с ДНК. Полученные результаты показывают, что фармакологическая активность гиперицина может быть обусловлена его непосредственным взаимодействием с ДНК. Об этом свидетельствуют также целенаправленный транспорт и накопление гиперицина в ядерных структурах при инкубации клеточных культур в среде, содержащей гиперицин [8].

Из вышеотмеченных результатов следует также, что определение транспорта и локализации гиперицина в ядерных структурах важнее, чем это предполагалось до сих пор. Следовательно, дальнейшие исследования взаимодействия гиперицина с ДНК представляют большой интерес для выявления механизмов действия и объяснения биологической активности данного соединения.

Работа выполнена при финансовой поддержке исследовательского гранта ANSEF № NS 82.

Кафедра биофизики

Поступила 25.12.2002

ЛИТЕРАТУРА

1. Muruelo D., Lavie G., Lavie D. – Proc. Nat. Acad. Sci. USA, 1988, v. 85, p. 5230–5234.
2. Lavie G., Valentine F., Levin B., Mazur Y., Gallo G., Lavie D., Weiner D., Meruelo D. – Proc. Nat. Acad. Sci. USA, 1989, v. 86, p. 5963–5967.
3. Lavie G., Mazur Y., Lavie D., Levin B., Ittah Y., Meruelo D. – AIDS: Anti-HIV Agents Ther Vaccines, 1990, v. 616, p. 556–562.
4. Duran N., Song S. – Photochem. Photobiol., 1986, v. 43, p. 677–680.
5. Kraus G.A., Pratt D., Tosseberg J.S. – Biochem. Biophys. Res. Commun., 1990, v. 172, p. 149–153.
6. Lopez-Bazzocchi I., Hudson B., Towers N. – Photochem. Photobiol., 1991, v. 54, p. 95–98.
7. Sureau F., Khunel J.M., Schwaller M.A., Turpin P.Y. In: Laser Application in Life Sciences, 1994, v. 2370, p. 263–267. SPIE Proceedings of the 5th LALS Int. Conf.
8. Miskovsky P., Sureau F., Chinsky L., Turpin P.Y. – Photochemistry and Photobiology, 1995, v. 62, № 3, p. 546–549.

9. Kirakosyan A.B., Vardapetyan H.R., Charchoglyan A.G. – Russian Journal of Plant Physiology, 2000, v. 47, № 2, p. 302–306.
10. Giese A.C. – Phytochem. Phytobiol. Rev., 1980, v. 5, p. 229–255.
11. Miskovsky P., Chinsky L., Wheeler G. and Turpin P.Y. – J. of Biomolecular Structure & Dynamics, 1995, v. 13, № 3, p. 547–552.

Ա. Ռ. ՓԵՆԵՍՅԱՆ, Ա. Պ. ԱՆՏՈՆՅԱՆ, Հ. Ռ. ՎԱՐԴԱՊԵՏՅԱՆ

ՀԻՊԵՐԻՑԻՆԻ ՍԱԶՐՎԱԾ ՆՄՈՒԾԵՐԻ ԵՎ ԴՆԹ-Ի
ՓՈԽԱԶԴՆԵՑՈՒԹՅԱՆ ՈՒՍՈՒՄՆԱՍԻՐՈՒԹՅՈՒՆԸ

Ամփոփում

Կատարվել է *Hypericum perforatum* L.-ի ծաղիկներից ստացված ամբողջական քուրմի մեթանոլային անջատում և ֆրակցիաների բաժանում գել-քրոմատոգրաֆիայի միջոցով սեֆարերս LH-20 պարունակող աշտարակների վրա: Կլասման և ֆլուորեսցենտային սպեկտրոսկոպիայի միջոցով, ինչպես նաև նրբաշերտ քրոմատոգրաֆիայի օգնությամբ ցույց է տրվել հիպերիցինի ստացված նմուշների բարձր աստիճանի մաքրությունը:

Ուսումնասիրվել է հիպերիցինի և ԴՆԹ-ի փոխազդեցությունը: Ցույց է տրվել, որ հիպերիցինը ընտրողաբար և տարբեր ձևերով է փոխազդում ԴՆԹ-ի պուրինային և պիրիմիդինային հաջորդականությունների հետ:

A. R. PENESYAN, A. P. ANTONYAN, H. R. VARDAPETYAN

STUDY OF INTERACTION BETWEEN PURIFIED HYPERICIN PREPARATIONS AND DNA

Summary

Isolation and fractionation of total methanol extract, obtained from *Hypericum perforatum* L. flowers, using the method of gel-chromatography on columns, containing sephadex LH-20, were performed. Absorption and fluorescent spectroscopy, as well as the method of TLC have shown the high purity of obtained hypericin preparations.

Interaction between hypericin and DNA was investigated. It was shown that hypericin interacts with purine and pyrimidine sequences of DNA selectively and in different ways.